

薄肉断面曲線材の有限変位解析

秋田大学 正。薄木 征三
秋田大学 正 猪農 利徳

1. 諸言 薄肉断面部材の有限変位理論に関する研究は、部材の座屈問題に関して発展してきた。特に最近のはりとアーチの横座屈に関して、座屈直前の変位を考慮すると従来の座屈荷重と相当の差異が生ずることが明らかにされつつある。この様な座屈問題を含む有限変位解析の基礎となるのは、応力一ひずみ関係を含めた棒部材としての変位場の設定にある。本報告では薄肉断面曲線材の大きなかじれを対象とし、棒部材の仮定を適用して変位場を定め、曲線けたの有限変位解析を剛性法によって行って見た。

2. 解析法 概要は以下のようである。

(i) 薄肉シェルのひずみ-変位関係式を基礎式とする。この時 図-1 の部材軸方向変位 w の x, y, z または s, θ, β に関する微係数は小さい(ひずみのオーダー以下)として、これらの微係数の 2次の項を無視する。

(ii) 上のひずみ-変位関係式に、棒部材の仮定、すなわち横断面形 不変の仮定とせん断ひずみに関するベルヌーイ・オイラーの仮定を適用する。これにより横断面内の任意な点 $P(x, y)$ の変位は、 (x, y) 座標の原点を通る部材軸線の変位 (u_0, v_0, w_0) およびねじれ角 ϕ で表められる。すなわち変位場は

$$\left. \begin{aligned} u &= u_0 + y \sin \phi - x (1 - \cos \phi), & v &= v_0 + x \sin \phi - y (1 - \cos \phi) \\ w &= w_0 - y \{ (v_0' + w_0/R) \cos \phi - u_0' \sin \phi \} - x \{ u_0' \cos \phi + (v_0' + w_0/R) \sin \phi \} \\ &\quad - \omega (s, n) \{ \phi' - u_0' \cos \phi / R - (v_0' + w_0/R) \sin \phi / R \} \end{aligned} \right\} \quad (1)$$

ここで $w(s, n)$ はぐく函数で基本的には微小変位理論と同じもの。 $'$ は凡てに奥付微分。

(iii) 上式を用いると直ひずみ ϵ_0 とせん断ひずみ γ_s も u_0, v_0, w_0 および ϕ で表められる。すな

$$\left. \begin{aligned} \epsilon_0 &= f(x, y, u_0, v_0, w_0, \sin \phi, \cos \phi) \\ \gamma_s &= g(x, y, u_0, v_0, w_0, \sin \phi, \cos \phi) \end{aligned} \right\} \quad (2)$$

の形になる。

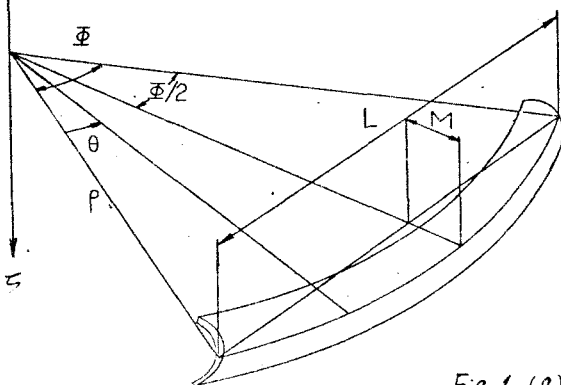


Fig. 1 (a)

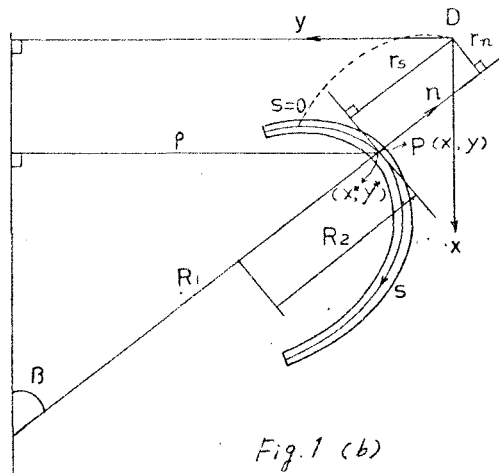


Fig. 1 (b)

(IV) 増分理論を用いて荷重増分一変位増分の関係を導びく。この時荷重増分を与える直前の状態 (Q_0 状態とする) の変位の一次項まで考慮する。その外には式(1)の変位場と(2)の応力場で、 $\sin \varphi$, $\cos \varphi$ & テイラー展開して曲線の変位 u_0 , v_0 , w_0 および φ およびこれらの微係数の積の 3 次まで考慮する。

(V) 刃性法を適用する。曲線要素 $i-j$ の変位を θ の 3 次式で近似する。次に節点変位増分一節点力増分関係を導びく。それは

$$([K] + [K_0] + [K_G])\{g\} = \{F\} - \{R\} \quad (3)$$

の形になる。ここで $[K_0]$, $[K_G]$ はそれぞれ初期剛性マトリックス、初期応力マトリックスであり Q_0 状態の節点変位 $\{g^0\}$ の一次式。 $\{R\}$ は残差ベクトル。節点変位 $\{g\}$ は

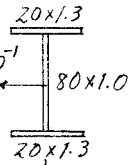
$$\{g\}^T = [v^i, w^i, \phi_x^i, E_x^i, u^i, \varphi^i, \phi_y^i, \gamma_{xy}^i, v_0^i, w_0^i, \phi_x^0, E_x^0, u_0^i, \varphi_0^i, \gamma_{xy}^0] \quad (4)$$

である。 $v^i, w^i, \phi_x^i, E_x^i, u^i, \varphi^i, \phi_y^i, \gamma_{xy}^i$ はそれぞれ節点 i での v , w , $\phi_x = v_0^i + w_0^i/R$, $E_x = w_0^i - v_0^i/R$, u_0 , φ , $\phi_y = u_0^i$, $\gamma_{xy} = \varphi^i - u_0^i/R$ の直である。

3 解析例 右図のような断面の片持ち曲線げたの自由端に集中荷重が作用したときの荷重 P と先端のねじれ角 φ の関係を下図に示す。計算には必要な無次元量は

$$\frac{EC\omega}{EJ_y l^2} = 0.3627 \times 10^{-4}, \quad \frac{GJ_x}{EJ_y} = 0.1879 \times 10^{-3}, \quad \frac{ET_p}{EJ_y} = 1.0135, \quad \frac{J_x}{J_y} = 0.1353 \times 10^{-1}$$

$$\frac{EF l^2}{EJ_x} = 0.4511 \times 10^{-5}, \quad \frac{EJ_x}{EJ_y l^2} = 0.2521 \times 10^{-2}$$



である。ここで $J_p = \int_{FP}^R \{y^2 + (x - \omega/R)^2\} dF$, $J_g = \int_{FP}^R \{y^2 + (x - \omega/R)^2\}^2 dF$ である。図中の絶縁軸の $le^2 P/EJ_y$, le は要素の長さで、はりを 10 等分割しているから $le = 7.7 \text{ cm}$, $\tilde{P}_c = le^2 P/EJ_y$ は直線材の固有値問題として得られる横座屈荷重である。

